

## طراحی، ساخت و تحلیل یک پمپ حرارتی زمین‌گرمایی

سید عبدالмهدی هاشمی<sup>۱\*</sup>، امیرحسین حسن‌زاده نجاری<sup>۲</sup>، سید محمد طباطبایی<sup>۳</sup>

<sup>۱</sup> دانشیار دانشکده مهندسی مکانیک، دانشگاه کاشان، کاشان، ایران، hashemi@kashanu.ac.ir

<sup>۲</sup> کارشناس ارشد مهندسی مکانیک، دانشگاه کاشان، کاشان، ایران، a.hasanzadeh.n@gmail.com

<sup>۳</sup> کارشناس ارشد مهندسی مکانیک، شرکت آفتاب، قم، ایران، mohammad.tabatabae@gmail.com

**چکیده:** با توجه به لزوم دستیابی به فناوری تولید داخلی پمپ حرارتی به عنوان یک گام مهم در توسعه سیستم‌های زمین‌گرمایی، ضمن تدوین دانش فنی طراحی و ساخت یک نمونه پمپ حرارتی، عملکرد این پمپ در شرایط کاری مختلف بررسی شده است. نمونه مورد نظر از نوع آب به آب و تکفصی است که بیشترین تقاضا را برای تأمین گرمایش زمستانی ساختمان‌ها دارد. بدین منظور، ابتدا انواع نمونه‌های تجاری پمپ‌های حرارتی متداول بررسی شده و با انتخاب یک نمونه پروفیل، ضمن جداسازی و بررسی اجزای آن برای نمونه‌سازی بومی، تحلیل‌های ترمودینامیکی، انتقال حرارتی و هیدرولیکی روی آن انجام شده است. سپس با درنظر گرفتن امکانات و قابلیت‌های بومی در تهییه اجزای نمونه پمپ حرارتی، طراحی و ساخت یک نمونه با قابلیت کارکرد مطلوب و مصرف انرژی پایین اقدام شده است. در ادامه، نمونه ساخته شده طبق استانداردهای معبر، مورد آزمون قرار گرفته و رفتار حرارتی و ضریب عملکرد نمونه ساخته شده بررسی شده است. نتایج آزمون نشان‌دهنده عملکرد مطلوب پمپ حرارتی در محدوده دمایی  $30^{\circ}\text{C}$ - $45^{\circ}\text{C}$  در خروجی کندانسور است. درنهایت با نصب آن در یک ساختمان نمونه، عملکرد دستگاه در شرایط کارکرد واقعی، ارزیابی شده است. در این ارزیابی، ضریب عملکرد پمپ حرارتی با توجه به تغییر دمای خروجی آب خروجی از کندانسور، بین ۴ تا ۷ تغییر می‌کند.

**واژه‌های کلیدی:** پمپ حرارتی، زمین‌گرمایی، طراحی و ساخت، تحلیل ترمودینامیکی.

نوید را می‌دهد که در آینده بتواند جایگزین سیستم‌های متداول شود. استفاده از خورشید موجب بهبود دمای چاه و عملکرد سیستم می‌شود. ضریب عملکرد در این حالت  $4/66$  و نسبت حرارت خورشیدی به حرارت کندانسور،  $0/53$  به دست آمده است؛ این مقادیر نشان‌دهنده عملکرد مطلوب سیستم در شرایط سرد است.

شیوازاکیوال و همکاران<sup>[۴]</sup> در سال ۲۰۱۴ به بررسی و بهینه‌سازی پارامترهای عملکرد سیستم‌های هیبریدی پرداختند. دمای ورودی و خروجی کندانسور، دمای خروجی تبخیرکننده و کیفیت مبرد ورودی به تبخیرکننده به عنوان پارامترهای مؤثر بر پمپ حرارتی در نظر گرفته شد. برای بهینه‌سازی از روش تاگوچی<sup>۵</sup> و نرمافزار فرتون<sup>۶</sup> استفاده شد. نتایج ضریب عملکرد سیستم در حالت گرمایش،  $4/25$  و در حالت سرمایش،  $3/32$  را نشان می‌دهد.

از طرفی، شرکت‌های خارجی متعددی در تولید پمپ‌های حرارتی فعالیت می‌کنند. شرکت‌های آمریکایی کریر<sup>۷</sup> و بورک<sup>۸</sup> در آمریکای شمالی و شرکت‌های اشنر<sup>۹</sup> و بوش<sup>۱۰</sup> و نیورا<sup>۱۱</sup> در اروپا از سازندگان بزرگ پمپ‌های حرارتی و همچنین پمپ‌های حرارتی زمین‌گرمایی هستند که نمونه‌های تولیدی آن‌ها دارای ضریب عملکرد<sup>۹</sup> (COP) بالای است؛ برای مثال، شرکت نیورای آلمان پمپ‌های حرارتی با ضریب عملکرد نزدیک ۵ برای سیستم زمین‌گرمایی با کویل زمینی افقی و ضریب عملکرد

<sup>۴</sup> تا <sup>۴/۲</sup> برای سیستم‌های زمین‌گرمایی با چاه عمیق ساخته است [۵].

در کشور ما نیز با افزایش بهای حامل‌های انرژی، پمپ حرارتی در عرصه تجاری سیستم‌های گرمایشی، جایگاه مناسبی یافته است. اما به دلیل وارداتی بودن پمپ‌های حرارتی و نبود زیرساخت‌های فناوری طراحی و ساخت اجزای مرتبط با این وسیله در کشور، هزینه نصب آن به عنوان سیستم گرمایش و سرمایش با کاربری مسکونی یا تجاری، هنگفت است و این عدمه ترین مانع در مسیر توسعه سیستم‌های مبتنی بر پمپ حرارتی در داخل کشور بهشمار می‌آید.

مطالعه گسترده بر روی پمپ حرارتی زمین‌گرمایی از سال ۱۳۸۰ در معاونت امور انرژی سازمان انرژی‌های نو ایران آغاز شد؛ این مطالعات به تغییر یک کولر گازی به پمپ حرارتی زمین‌گرمایی منجر شد. این دستگاه در سایت زمین‌گرمایی شهر مشکین شهر نصب و راهاندازی شده و کویل زمینی آن که به صورت افقی است، باعث شده تا میزان مصرف برق

## ۱. مقدمه

امروزه انتقال انرژی به مناطق دوردست، به دلیل هزینه‌های سنگین، از مباحث مهم انرژی در کشور ایران است. یکی از راهکارهای مناسب برای رفع این مشکل، استفاده از انرژی‌های نو مانند انرژی خورشیدی و انرژی زمین‌گرمایی است. سیستم‌های زمین‌گرمایی یکی از گزینه‌های مفید در تأمین انرژی مصرف خانگی است که می‌تواند جایگزین مناسبی برای سوخت‌های فسیلی نظیر گاز طبیعی باشد و به توسعه انرژی‌های تجدیدپذیر نیز کمک کند.

سیستم‌های گرمایش و سرمایش مبتنی بر انرژی‌های تجدیدپذیر، عموماً به تنهایی در همه اوقات، قادر به تأمین شرایط آسایش نیستند و به صورت ترکیبی با سیستم‌های کمکی مورداستفاده قرار می‌گیرند. در طراحی این سیستم‌ها، برای اجتناب از به کارگیری تجهیزات احتراق سوخت فسیلی و تولید گازهای آلینده، غالباً از یک پمپ حرارتی استفاده می‌شود. از آنجاکه کارکرد پمپ حرارتی بدون تولید گازهای آلینده و کاملاً سازگار با محیط زیست است، در سال‌های اخیر به طور گسترده در واحدهای مرکزی یا پکیجی<sup>۱</sup>، به صورت مستقل یا تلفیقی با انرژی‌های تجدیدپذیر نظیر انرژی خورشیدی و منابع زمین‌گرمایی به کار گرفته شده است.

در این زمینه، تحقیقات بسیاری انجام شده است که از جمله می‌توان به کار هپیاسلی<sup>[۱]</sup> در سال ۲۰۰۵ اشاره کرد که عملکرد یک پمپ حرارتی زمین‌گرمایی را برای فصل زمستان و با سیال R-۲۲ از منظر انرژی و اگررژی، موردنرسی قرار داده است. در این تحقیق، تخریب اگررژی برای اجزای مختلف سیکل محاسبه شده و ضریب عملکرد  $2/85$  و بازده اگررژی  $0/66$  برای پمپ حرارتی به دست آمده است. بی و همکاران<sup>[۲]</sup> عملکرد یک پمپ حرارتی زمین‌گرمایی با سیال R-۲۲ را در هر دو حالت سرمایش و گرمایش، از منظر قانون دوم ترمودینامیک بررسی کرده و تخریب و بازده اگررژی را در اجزای مختلف پمپ حرارتی و سیستم کلی محاسبه نمودند. در این تحقیق، بازده اگررژی پمپ گرمایی برای فصل گرمایش و سرمایش به ترتیب  $0/۰۱$  و  $0/۰۷$  به دست آمد و نتیجه گیری شد که بیشترین مقدار تخریب اگررژی در هر دو حالت در کمپرسور رخ می‌دهد. در سال ۲۰۱۱، شی و همکاران<sup>[۳]</sup> به بررسی سیستم‌های هیبریدی پمپ حرارتی زمین‌گرمایی- خورشیدی نصب شده در کشور چین پرداختند. در این سیستم که برای گرمایش فضا در نظر گرفته شده بود، کلکتورهای خورشیدی با چاههای زمین‌گرمایی سری شده بودند. این سیستم با افزایش بازده انرژی و جبران حرارت ازدسترفته از زمین توسعه کلکتور، موجب عملکرد بهتر سیستم گرمایش شده و این

- 
2. Taguchi
  3. Fortran
  4. Carrier
  5. York
  6. Ochsner
  7. Bosch
  8. Neura
  9. Coefficient of performance

مطلوب و کاربردی پمپ حرارتی، به صورت تفصیلی و براساس نیاز ملی، در مسیر توسعه فناوری‌های سازندگان جهانی پمپ حرارتی و تفکر رو به گسترش نحوه به کارگیری پمپ حرارتی در سیستم‌های انرژی‌های پاک و تجدیدپذیر است که درنهایت، برای کاربرد در سیستم گرمایش و سرمایش یک ساختمان مسکونی استفاده خواهد شد.

## ۲. طراحی و ساخت پمپ حرارتی نمونه

گام نخست برای طراحی پمپ حرارتی، انتخاب نوع پمپ حرارتی است که با توجه به شرایط اقلیمی و نحوه توزیع گرما در ساختمان تعیین می‌شود. پمپ‌های حرارتی در عرصه تجارتی براساس نوع سیال گیرنده و دهنده انرژی، به ترتیب اهمیت به سه دسته عمده تقسیم می‌شوند: هوا به هوا، آب به هوا و آب به آب. بیشترین تولید پمپ حرارتی در عرصه تجارتی از نوع آب به هواست. در این نوع از پمپ‌های حرارتی، جریان آب در حال گردش از منبع زمینی یا چاه و برکه و حتی آب برگشت از دیگر دما پایین به آن وارد می‌شود. با عبور هوا محیط از روی کدنسور توسط یک فن، هوا گرم خروجی دستگاه از طریق سیستم کاتالی به فضای داخل توزیع می‌شود. نمونه‌های پمپ حرارتی آب به آب برای استفاده در سیستم‌های توزیع گرمایی تمام آب نظری گرمایش از کف و رادیاتورهای فن کویل، بهمنظور گرمایش و سرمایش مورداستفاده قرار می‌گیرند. این نوع از پمپ حرارتی از نظر کاربردی بسیار مطلوب بوده، ابعاد آن در مقایسه با سایر انواع متناظر، کوچک‌تر و قیمت تمام‌شده آن کمتر است. بهدلیل اینکه در این تحقیق، استفاده از انرژی زمین گرمایی موردنظر است و با توجه به نحوه توزیع حرارت در ساختمان که به‌وسیله سیستم گرمایش از کف انجام می‌شود، پمپ حرارتی از نوع آب به آب انتخاب شده است.

در گام بعد به داشن طراحی برای ساخت نیاز است. به این منظور یک نمونه مشابه جداسازی شده و اطلاعات فنی آن استخراج می‌شود. بعد از کسب دانش فنی، باید سیکل ترمودینامیکی پمپ حرارتی نمونه طراحی شود تا ظرفیت حرارتی مبدل‌های حرارتی و کمپرسور معین شود. برای طراحی سیکل ترمودینامیکی، از نرم‌افزار کولپک<sup>۱</sup> ویرایش ۱/۴۹ که بر مبنای نرم‌افزار<sup>۲</sup> EES نگاشته شده است، استفاده می‌شود. این نرم‌افزار در تحلیل ترمودینامیکی سیکل پمپ حرارتی در سطح جهانی، از شهرت و اعتبار برخوردار بوده و مورداستفاده اغلب طراحان سیستم‌های تبرید است. همچنین تمامی فرضیات لازم برای نزدیک شدن سیکل طراحی شده به سیکل واقعی، توسط خود نرم‌افزار اعمال می‌شود. بعد از مقایسه نتایج

دستگاه مذکور تا ۳۰ درصد کاهش یابد. این سازمان برای تکمیل این مطالعات، با کمک شرکت آساد صنعت،<sup>۳</sup> دستگاه پمپ حرارتی زمین گرمایی تهیه کرد و در آزمایشگاه مورد آزمایش قرار داد. نتایج آزمایش نشان‌دهنده ضریب عملکرد ۴/۵ و مصرف برق ۷۵۰ W بود که در مقایسه با بهترین کولر گازی موجود در ایران، که ضریب عملکرد ۲/۵ و مصرف برق ۲۸۰۰ W دارد، میزان چشمگیری کاهش مصرف برق دارد.<sup>[۶]</sup>

در سال‌های اخیر، برخی کوشش‌های مقطعی برای نمونه‌سازی پمپ حرارتی در کشور انجام شده است. از آن جمله می‌توان به نمونه پایلوت پمپ حرارتی آب به هوای شرکت خصوصی ارم زمین گرمایی اشاره کرد که اطلاعاتی از ملاحظات اقتصادی و نحوه تجارتی سازی، کاربری متناسب با فرهنگ ایرانی و از همه مهم‌تر، تدوین دانش فنی طراحی و تحقیق ترمودینامیکی آن در دست نیست.<sup>[۷]</sup> همچنین می‌توان به پمپ حرارتی ساخته شده در شرکت بربولی با ظرفیت ۲ تا ۶ تن تبرید اشاره کرد که طبق نظر سازندگان، ضریب عملکرد آن بین ۴/۵ تا ۵ است.<sup>[۸]</sup>

صنایع و نیرومند<sup>[۹]</sup> نیز پمپ حرارتی زمین گرمایی را برای هر دو حالت سرمایش و گرمایش و با استفاده از سیال R-۲۲ و برای مناطق مختلف آب و هوایی، به منظور کمینه کردن تابع هدف هزینه کلی بهینه‌سازی نمودند و به ضریب عملکرد ۵/۲۶ در حالت سرمایش و ۵/۱۵ در حالت گرمایش در حالت بهینه و برای اقلیم آب و هوایی مبنا دست پیدا کردند. در سال ۱۳۹۱، منصور راد و جواهرده<sup>[۱۰]</sup> یک پمپ حرارتی زمین گرمایی دما پایین را مورد بررسی و تحلیل اگرژی قرار دادند. نتایج این تحلیل نشان می‌داد که بیشترین میزان اتلاف اگرژی متعلق به کمپرسور است. بنابراین، مهم‌ترین جزء سیستم که باید برای بهبود آن تلاش کرد، کمپرسور است.

عتابی و همکاران<sup>[۱۱]</sup> در سال ۱۳۹۳ امکان‌سنگی فنی، اقتصادی و زیست محیطی پمپ‌های حرارتی زمین گرمایی را برای یک ساختمان دوازده واحدی در شرق تهران مورد توجه قرار دادند. به این منظور، با استفاده از نرم‌افزار پرفرم<sup>۲</sup> و در یک بازه زمانی ده‌ساله، تحلیل اقتصادی سیستم پمپ حرارتی و مقایسه آن با سیستم بویلر که قبلاً وظیفه تأمین گرمایش ساختمان را دارد، انجام شده است. نتایج این بررسی نشان می‌دهد علاوه بر کاهش میزان تولید دی‌اکسید کربن، در هر سال ۶۷۰۰ گیگاژول در مصرف گاز طبیعی صرف‌جویی می‌شود. همچنین با محاسبه هزینه‌های اولیه و هزینه انرژی مصرفی برای هر دو سیستم، دوره بازگشت سرمایه سیستم پمپ حرارتی کوتاه‌تر می‌شود.

هدف از این تحقیق، تدوین دانش فنی و نمونه‌سازی یک مدل

2. Coolpack

3. Engineering Equation Solver

1. preform

با توجه به این نکته که پمپ حرارتی نمونه برای کاربرد زمین‌گرمایی استفاده می‌شود، شرایط تحلیل باید نزدیک به شرایط طراحی در نظر گرفته شود. برای تعیین مشخصات کارکرد حرارتی دستگاه، می‌بایست از یک استاندارد مشخص مثل AHRI/ISO ۹۰۷۳ یا مشابه آن استفاده کرد. به دلیل فرسوده بودن نمونه انتخابی، به اطلاعات فنی آن شده از سوی سازنده که با استاندارد مذکور صورت گرفته، اکتفا شده است. در این استاندارد، دمای هوای ورودی به کندانسور  $27^{\circ}\text{C}$  ثابت نگه داشته می‌شود. با انجام محاسبات موازنۀ انرژی و انتقال حرارت، می‌توان مشخصات واقعی کارکرد پمپ حرارتی جداسازی شده را برای شرایط آب ورودی  $32^{\circ}\text{C}$  که نزدیک به دمای خروجی از زمین است، مطابق جدول (۱) به دست آورد.

جدول (۱): مشخصات کارکرد پمپ حرارتی در دمای هوای  $27^{\circ}\text{C}$  و آب ورودی  $32^{\circ}\text{C}$  براساس نظر شرکت سازنده

	دبي آب (GPM)	واحد	کیفیت
۷/۸	۵/۸	۳/۹	
۲۷	۲۵/۳	۲۳	°C
۴۴/۵	۴۲/۸	۴۰/۷	°C
۴۳	۴۲	۴۱	°C
۲/۵۸	۲/۵۱	۲/۴۳	kW
۱۰/۴۴	۹/۷۵	۹/۴۵	kW

برای حصول اطمینان از مدل ترمودینامیکی مورد استفاده در نرمافزار، نتایج فوق با استفاده از نرمافزار موردنبررسی و مقایسه قرار گرفته است. به منظور انجام تحلیل ترمودینامیکی با کمک نرمافزار، دمای تبخیرکننده<sup>۱</sup> و دمای تعطیل کندانسور موردنیاز است که در مشخصات فنی ارائه شده توسط شرکت سازنده ذکر نشده است. به این ترتیب، نتایج تحلیل نرمافزار به گونه‌ای ارائه شده است تا ضمن اراضی فرضیات سیکل واقعی، ظرفیت گرمایی و توان الکتریکی مصرفی پمپ حرارتی با مشخصات نمونه جداسازی شده مطابق باشد. با تکرار محاسبات و مقایسه با مندرجات ارائه شده در دفترچه مشخصات فنی نمونه، می‌توان دریافت که شرایط اسمی کارکرد نمونه در دمای تبخیرکننده و کندانسور به ترتیب برابر  $5^{\circ}\text{C}$  و  $45^{\circ}\text{C}$  ایجاد می‌شود. در شکل (۲)، سیکل ترمودینامیکی واقعی به دست آمده از روند تکرار نشان داده شده است.

طراحی با نمونه جداسازی شده، در صورت معتبر بودن نتایج طراحی، نوبت به انتخاب اجزای اصلی پمپ حرارتی شامل کمپرسور، کندانسور و تبخیرکننده، با توجه به نتایج طراحی سیکل ترمودینامیکی می‌رسد. در دسترس بودن یا قابلیت ساخت آسان، قیمت پایین و دستیابی به ضریب عملکرد بالا برای صرفه‌جویی در مصرف برق، از مهم‌ترین نکات برای انتخاب اجزای پمپ حرارتی نمونه است.

## ۱.۲. جداسازی نمونه خارجی و تحلیل ترمودینامیکی آن

هدف از جداسازی نمونه خارجی، به دست آوردن اطلاعاتی نظیر شکل قرار گرفتن اجزای تشکیل‌دهنده پمپ‌های حرارتی تجاری و همچنین ظرفیت کمپرسور و مبدل‌های حرارتی کندانسور و تبخیرکننده است. همه محاسبات طراحی یک پمپ حرارتی، بر روی نمونه جداسازی شده انجام می‌شود تا اطمینان حاصل شود که محاسبات انجام گرفته به ساخت یک نمونه مطلوب منجر می‌شود. بررسی سایر خصوصیات اجرایی پمپ حرارتی نمونه که در حوزه طراحی به آن پرداخته نمی‌شود، از دیگر اهداف جداسازی نمونه پمپ حرارتی است. نحوه کنترل اجزای سیکل و رژیم‌های راهاندازی و خاموش‌سازی، سایر لوله‌های رابط و سایر مشخصات ساختاری پمپ حرارتی، مواردی از این دست‌اند. عملیات جداسازی بر روی یک نمونه تجاری مستعمل ساخت شرکت یورک آمریکا که یکی از سازندگان مطرح پمپ حرارتی در عرصه جهانی است، انجام شد. طبق مشخصات فنی ارائه شده توسط شرکت سازنده، ظرفیت اسمی دستگاه جداسازی شده که از نوع آب به هواست، ۲/۵ تن تبرید است که از جهت ظرفیت، مشابه نمونه مطلوب برای ساخت است. شکل (۱) اجزای نمونه جداسازی شده را نشان می‌دهد.



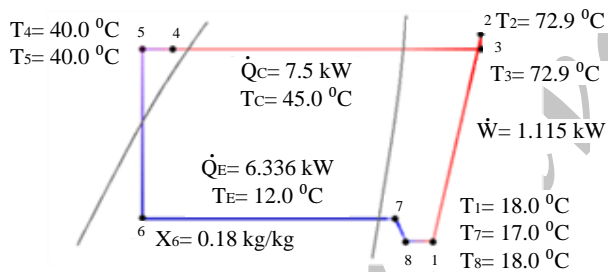
شکل (۱): اجزای جداسازی شده نمونه انتخابی پمپ حرارتی تجاری

جدول (۳): فرضیات مورد استفاده در تحلیل سیکل ترمودینامیکی

پارامتر	مقادیر فرض شده
R-۲۲	مفرد
۷/۵ kW	ظرفیت گرمایش کمپرسور
٪۸۰	راندمان اینترروپیک کمپرسور
۵ °C	اختلاف دمای فوق اشباع
۵ °C	اختلاف دمای زیر اشباع
۰/۵ °C	افزایش دمای معادل افت فشار در خط مکش
۰/۵ °C	افزایش دمای معادل افت فشار در خط دهش
۱ °C	افزایش دمای معادل افت فشار در تبخیرکننده

با درنظر گرفتن فرضیات فوق، نمودار آلتالپی-فشار سیکل طراحی شده به صورت شکل (۳) به دست می‌آید.

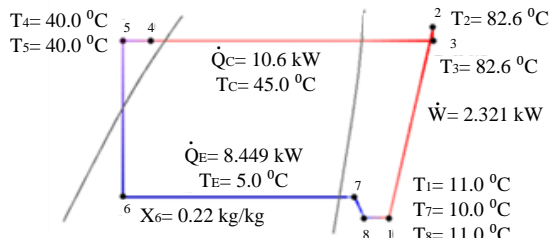
با درنظر گرفتن توان مصرفی کمپرسور و ظرفیت حرارتی کندانسور که در شکل (۳) نشان داده شده، ضریب عملکرد پمپ حرارتی ۶/۷ به دست می‌آید که مقدار مناسبی است. اما باید توجه داشت که سیکل طراحی شده یک سیکل ایدئال است و با توجه به تجهیزات موجود در بازار ممکن است عملی نباشد. بنابراین برای رسیدن به ضریب عملکرد سیکل طراحی شده، تجهیزات انتخابی برای پمپ حرارتی نمونه باید شرایط نزدیک به شرایط طراحی داشته باشد.



شکل (۳): نمودار P-h سیکل ترمودینامیکی طراحی شده

### ۳.۲. انتخاب کمپرسور

مهم‌ترین قسمت پمپ حرارتی، کمپرسور آن است. بنابراین ابتدا باید بررسی شود که کمپرسوری با مشخصات طراحی شده در بازار موجود است یا خیر. با اینکه تا دهه ۸۰ میلادی بیش از ۶۰ درصد بازار کمپرسورهای تبرید از نوع رفت و برگشت بودند، در دو دهه اخیر، کمپرسورهای اسکرال<sup>۱</sup> به عنوان جایگزین، بیش از ۷۰ درصد بازار جهانی را به خود اختصاص داده‌اند [۱۲]. این به دلیل عمر طولانی و صدای کمتر و راندمان بالاتر این نوع کمپرسور است. همچنین، افت فشار خط مکش و دهش در این کمپرسورها به مرتب کمتر از نوع ضربهای آن است [۱۳] و



شکل (۲): سیکل ترمودینامیکی واقعی پمپ حرارتی نمونه جداسازی شده

با مقایسه مقادیر بدست آمده توسط این نرم‌افزار با نتایج موجود در دفترچه مشخصات فنی دستگاه، مشاهده می‌شود که نتایج با یکدیگر اختلاف کمی دارند. نتایج طراحی در جدول (۲) ارائه شده است.

جدول (۲): ظرفیت مؤلفه‌های سیکل پمپ حرارتی نمونه جداسازی شده در شرایط کارکرد اسمی

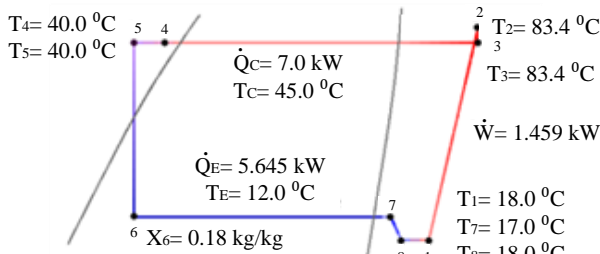
مؤلفه سیکل	ظرفیت حرارتی (kW)
تبخیرکننده	۸/۴۵
کندانسور	۱۰/۶
کمپرسور	۲/۳۲

با توجه به نتایج بدست آمده از نرم‌افزار، مقدار ضریب عملکرد پمپ حرارتی ۴/۵۷ به دست می‌آید. در نگاه اول به نظر می‌رسد که مجموع انرژی ورودی و خروجی با هم برابر نیست و قانون اول ترمودینامیک نقض شده است. اما درواقع نرم‌افزار برای نزدیک کردن سیکل ترمودینامیکی طراحی شده به سیکل واقعی، مقداری افت انرژی برای قسمت‌های مختلف در نظر می‌گیرد. به همین سبب مشاهده می‌شود که مجموع انرژی ورودی و خروجی سیکل طراحی با هم برابر نیست.

## ۲.۲. طراحی سیکل ترمودینامیکی

بعد از کسب دانش فنی و آشنایی با نحوه طراحی پمپ حرارتی، اینکه نوبت به طراحی پمپ حرارتی می‌رسد. اولین گام برای طراحی پمپ حرارتی، طراحی سیکل ترمودینامیکی آن است. برای طراحی سیکل ترمودینامیکی با کمک نرم‌افزار، به سه پارامتر مهم نیاز است. اولین پارامتر، ظرفیت حرارتی کندانسور است که با توجه به تحلیل انجام گرفته روی ساختمان موردنظر، بیشترین حرارت موردنیاز ساختمان در سردترین روز سال، ۷/۵kW تعیین شده است. بنابراین، ظرفیت حرارتی مدنظر پمپ حرارتی ۲ تن تبرید یا ۷/۵kW در نظر گرفته شده است. دو پارامتر مهم دیگر، دمای تبخیرکننده و کندانسور در شرایط طراحی هستند. با درنظر گرفتن دمای آب خروجی از زمین برابر ۱۵°C و نیاز به آب گرم ۴۰°C، دمای تبخیرکننده و تقطیر کندانسور به ترتیب ۱۲°C و ۴۵°C فرض شد. سایر فرضیات مورد استفاده در تحلیل اولیه سیکل در جدول (۳) آمده است.

و تحلیل مذکور دوباره باید تصحیح شود. با انجام دوباره تحلیل ترمودینامیکی، و اینبار براساس ظرفیت کمپرسور انتخابی، سیکل ترمودینامیکی باز طراحی می‌شود. سیکل ترمودینامیکی تصحیح شده براساس مشخصات کمپرسور، در شکل (۴) نشان داده شده است.



شکل (۴): سیکل ترمودینامیکی طراحی شده براساس مشخصات کمپرسور

با توجه به افزایش توان مصرفی کمپرسور و کاهش ظرفیت حرارتی کندانسور نسبت به سیکل ترمودینامیکی اولیه، انتظار می‌رود ضریب عملکرد سیستم کاهش یابد. با محاسبه ضریب عملکرد سیستم برای سیکل جدید، مقدار  $4/6$  بدست می‌آید که مقدار قابل قبولی است. ظرفیت انرژی مؤلفه‌های پمپ حرارتی به همراه ضریب عملکرد آن در جدول (۵) نشان داده شده است.

جدول (۵): ظرفیت انرژی مؤلفه‌های سیکل پمپ حرارتی نمونه برای ساخت

ظرفیت حرارتی	واحد	مؤلفه سیکل
۵/۰۴۵	kW	تبخیرکننده
۷	kW	کندانسور
۱/۴۵۹	kW	کمپرسور
۴/۶	-	ضریب عملکرد

در جدول (۶)، شرایط ترمودینامیکی نقاط مشخص شده در نمودار شکل (۴) ارائه شده است. با استفاده از مقادیر آنتالپی در نقاط مختلف سیکل، ظرفیت حرارتی مؤلفه‌های سیکل قابل محاسبه خواهد بود.

جدول (۶): شرایط ترمودینامیکی در نقاط مختلف سیکل واقعی شکل (۴)

جرم حجمی (kg.m <sup>-3</sup> )	آنالپی (kJ.kg <sup>-1</sup> )	دما (°C)	قطع سیکل
۲۹	۲۵۷/۹	۱۸	۱
۶۰/۲	۲۹۶/۹	۸۳/۵	۲
۵۹/۴	۲۹۷/۲	۸۳/۵	۳
۱۱۳۱/۴	۹۴/۴	۴۰	۴
۱۱۳۱/۴	۹۴/۴	۴۰	۵
—	۹۴/۴	۱۲	۶
۲۹/۷	۲۵۷/۹	۱۷	۷
۲۹	۲۵۷/۹	۱۸	۸

منحنی افزایش فشار آن به فرایند ایزوentropیک نزدیک‌تر است [۱۴]. در این تحقیق، با درنظر گرفتن جایگاه و روند روبرو شد استفاده از کمپرسورهای اسکرول و همچنین با توجه به عمر طولانی این کمپرسورها، در پمپ حرارتی نمونه از آن‌ها استفاده شده است.

برای انتخاب ظرفیت مطلوب کمپرسور ابتدا باید نوع مبرد سیکل تعیین شود. مبرد مورد استفاده در پمپ حرارتی نمونه از نوع R-۲۲ انتخاب شده است. اگرچه با توجه به اثرات مخرب زیست‌محیطی مبرد R-۲۲، این مبرد در سطح جهانی به تدریج از چرخه مصرف حذف می‌شود [۱۵]، آنچه در انتخاب این مبرد اهمیت دارد، قیمت کم و در دسترس بودن آن است.

گام دوم برای تعیین ظرفیت کمپرسور، دمای تقطیر کندانسور و دمای تبخیر تغییرکننده است. برای انتخاب محدوده دمایی کمپرسور باید به این نکته توجه داشت که هرچه دمای تبخیرکننده و کندانسور به هم نزدیک‌تر باشد، کمپرسور عملکرد مطلوب‌تری دارد. برای تعیین دمایی تبخیر و چگالش می‌بایست دمای سیال گرم و سردشونده و همچنین راندمان مبدل‌های حرارتی مورد استفاده به عنوان کندانسور و تبخیرکننده مورد توجه قرار گیرد.

براساس محاسبات بار حرارتی ساختمان و فرضیات انجام‌شده درباره دمای تقطیر کندانسور و تبخیرکننده، کمپرسور موجود در بازار داخلی با برنده کوپلاند<sup>۱</sup> که مشخصات آن در جدول (۴) ارائه شده و خدمات فنی آن در داخل موجود است، برای ساخت نمونه انتخاب شده است.

جدول (۴): مشخصات کمپرسور انتخابی برای نمونه‌سازی

عنوان	مشخصات	مدل تجاری
ZR28K3PFJ	R-۲۲	مبرد
	۲/۲ kW	توان الکتریکی
	۲۲۰ ولت، تک فاز	برق و روژی
	۱۲°C	دمای تبخیر
	۴۵°C	دمای تقطیر
	۷ kW	ظرفیت گرمایش
	۶۶۳٪	راندمان ایزوentropیک

شایان ذکر است به دلیل محدودیت‌های موجود در بازار داخلی و شرایط خاص حاکم بر آن، امکان تهیه کمپرسورهایی که مخصوص پمپ‌های حرارتی طراحی شده‌اند، وجود نداشته و کمپرسور انتخابی، از رده کاربری در سیستم‌های تهویه یا کولر گازی است و برای استفاده در محدوده دمایی پمپ حرارتی طراحی نشده است. به همین دلیل، راندمان ایزوentropیک<sup>۲</sup> ۸۰ درصد فرض شده در تحلیل ترمودینامیکی محقق نشده

1. Copeland  
2. Isentropic Efficiency

هرچند که مبدل‌های دولوله‌ای ساختار ساده‌ای دارند و از کارایی شگفتی برخوردارند و نسبت به رسوبات آب در حال گردش مقاوم‌اند، وزن و حجم آن‌ها از نوع صفحه‌ای بیشتر است. از طرفی، مبدل‌های صفحه‌ای به دلیل مدلولار بودن ساختار آن‌ها، کاربرد نسبتاً وسیعی دارند. با توجه به در دسترس نبودن نمونه‌های مبدل دولوله‌ای با ظرفیت دلخواه در بازار داخلی و علی‌رغم مزایای این مبدل‌ها، از مبدل صفحه‌ای برای ساخت تبخیرکننده و کندانسور استفاده شده است.

برای انتخاب مبدل‌های حرارتی، از جداول کاتالوگ سازنده استفاده شده است. با کمک این جداول، ظرفیت‌های حرارتی و افت فشار کندانسور و تبخیرکننده، براساس مبرد R-۲۲ و دمای کندانسور و تبخیرکننده به ترتیب برابر  $45^{\circ}\text{C}$  و  $12^{\circ}\text{C}$  تعیین شده است. با توجه به نتایج جدول (۵) و مشخصات فنی درج شده در کاتالوگ مبدل‌های حرارتی که در جدول (۸) نشان داده شده است، تعداد صفحات کندانسور و تبخیرکننده به ترتیب ۴۴ و ۳۰ انتخاب می‌شوند.

جدول (۸): مشخصات فنی مبدل‌های صفحه‌ای

R-22					
تعداد صفحات	اوپراتور		کندانسور		
	شار حرارتی (kW)	افت فشار (kPa)	شار حرارتی (kW)	افت فشار (kPa)	
۱۰	۲	۴۱	۱/۶	۱/۱	
۱۴	۳	۴۷	۲/۳	۱/۱	
۲۰	۴	۴۱	۲/۲	۰/۹	
۲۶	۵	۴۵	۴/۲	۰/۹	
۳۰	۶/۵	۴۸	۵	۰/۹	
۳۴	۷/۵	۵۰	۵/۵	۰/۹	
۴۰	۸/۵	۴۷	۶/۸	۰/۹	
۴۴	۹/۵	۴۸	۷/۵	۰/۹	
۵۰	۱۰/۸	۴۹	۸/۵	۰/۹	
۶۰	۱۳	۵۰	۱۰	۰/۹	
۷۰	۱۵	۴۹	۱۱/۵	۰/۹	

### ۳. آزمون تجربی نمونه ساخته شده

بعد از اجرای روند مهندسی معکوس و طراحی اجزای پمپ حرارتی، نمونه موردنظر ساخته شد. به منظور مقایسه عملکرد پمپ حرارتی ساخته شده با پمپ‌های حرارتی تولیدکنندگان مختلف، دستگاه ساخته شده تحت آزمون استاندارد و مشخصی قرار می‌گیرد. در آزمون تجربی پمپ حرارتی ساخته شده، برای اندازه‌گیری ضربیه عملکرد از استاندارد

برای رسیدن به ظرفیت حرارتی  $7\text{kW}$  کندانسور در شرایط طراحی، دبی جریان مبرد  $0.3452 \text{ kg.s}^{-1}$  خواهد بود. با داشتن سرعت مجاز جریان مبرد در مجاری، مطابق جدول (۷) سایز لوله‌های رابط محاسبه می‌شود.

جدول (۷): مشخصات محاسبه شده لوله‌های رابط سیکل پمپ حرارتی

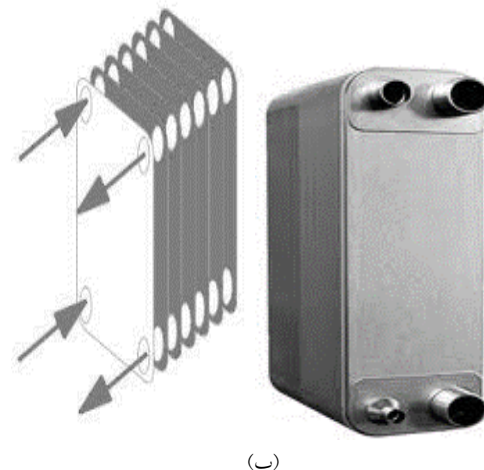
قطع سیکل	سرعت مبرد (m.s <sup>-1</sup> )	مسیر (mm)	سایز لوله
۱	۱۰	خط مکش	۱۲/۳
۲	۱۲	خط دهش	۷/۸
۵	۰/۶	مایع	۸

### ۱.۳.۲. انتخاب مبدل حرارتی

برای تبخیرکننده و کندانسور، مبدل‌های حرارتی مورداستفاده در پمپ حرارتی آب به آب باید برگزیده شوند. مبدل‌های حرارتی دو لوله‌ای و صفحه‌ای، دو نمونه رایج مبدل‌های حرارتی مورداستفاده در این نوع از پمپ‌های حرارتی هستند. در شکل (۵) این دو مبدل نشان داده شده‌اند.



(الف)



(ب)

شکل (۵): نمایی از مبدل حرارتی: الف. دولوله‌ای؛ ب. صفحه‌ای

## طراحی، ساخت و تحلیل یک پمپ حرارتی زمین‌گرمایی ۵۵

نگه داشته شد تا از دمای تبخیر مبرد در تبخیرکننده در دمای  $12^{\circ}\text{C}$  اطمینان حاصل شود. این دمایی است که در آن، نمونه پمپ حرارتی ساخته شده می‌بایست برای شرایط کاربری خاص، در یک سیستم زمین‌گرمایی همیرید جهت اجرا در منطقه واقع در شهرستان قم عمل نماید.

جدول (۹): مشخصات وسایل اندازه‌گیری در آزمون تجربی

	کمیت	وسیله اندازه‌گیری	محدوده کاری	دقت
۰/۱gpm	دبي آب	ظرف مدرج و کرونومتر	-۰-۱۰gpm	-۰-۱gpm
±۱٪	دما	ترموکوپل نوع k	-۱۰ تا $50^{\circ}\text{C}$	-۰-۱٪
۰/۰۱A	آرژی الکتریکی	آمپرmetر	۰-۱۰A	۰-۰/۱A
۰/۱psi	فشار مبرد	مانومتر	-۰-۵۰۰psi	-۰-۱psi

اجرای آزمون براساس تغییر دمای آب خروجی از کندانسور در محدوده  $30^{\circ}\text{C}$  تا  $50^{\circ}\text{C}$  است. بنابراین مدار کنارگذر پیش‌بینی شده به گونه‌ای تنظیم شده است تا دمای خروجی از کندانسور در هر آزمایش  $5^{\circ}\text{C}$  افزایش یابد. در طول آزمایش، دمای آب ورودی به تبخیرکننده ثابت نگه داشته می‌شود. دبی‌های جریان اوپرатор و کندانسور در طول آزمایش ثابت و به ترتیب برابر  $1/36 \text{ m}^3.\text{hr}^{-1}$  و  $0/9 \text{ m}^3.\text{hr}^{-1}$  تنظیم شد. مدت زمان هر مرحله آزمون تا رسیدن به شرایط پایدار برای برداشت اطلاعات، ۱۵ دقیقه در نظر گرفته شده است تا دمای آب ورودی به تبخیرکننده افزایش نیابد. نتایج آزمون در جدول (۱۰) ارائه شده است.

جدول (۱۰): نتایج آزمون تجربی در دمای ورودی تبخیرکننده  $13/5^{\circ}\text{C}$

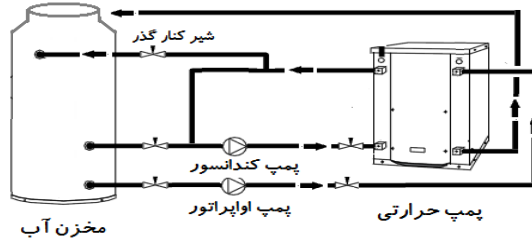
پارامتر	واحد					
	۵۰	۴۵	۴۰	۳۵	۳۰	دما
دما	۱۳/۵	۱۳/۵	۱۳/۵	۱۳/۵	۱۳/۵	ورودی تبخیرکننده
دما	۱۱/۳	۱۰/۹	۱۰/۴	۱۰	۹/۸	خروجی تبخیرکننده
دما	۲۴/۸	۳۹/۶	۳۴	۲۹/۶	۲۲/۴	ورودی کندانسور
دما	۱۲	۱۲	۱۲	۱۲	۱۲	تبخیر مبرد
دما	۵۵	۵۰	۴۵	۴۰	۳۵	تقطیر مبرد
شدت جریان برق	۹/۲	۷/۴	۶/۸	۶	۵/۵	A
کمپرسور						

توان الکتریکی توسط دستگاه واتمتر اندازه‌گیری می‌شود. برای محاسبه ظرفیت حرارتی کندانسور و تبخیرکننده از رابطه (۱) استفاده می‌شود.

$$\dot{Q} = \dot{m} \cdot C \cdot \Delta T \quad (1)$$

در این رابطه،  $\dot{Q}$  شار حرارتی،  $\dot{m}$  دبی جرمی آب،  $C$  ظرفیت گرمایی ویژه آب و  $\Delta T$  اختلاف دمای آب ورودی و خروجی مبدل حرارتی است. نتایج تحلیل حرارتی آزمون و محاسبه ضرایب عملکرد پمپ حرارتی در جدول (۱۱) ارائه شده است.

ISO-۱۳۲۵۶ استفاده شده است. اجرای آزمون براساس تغییر دمای آب ورودی به کندانسور در محدوده  $25-45^{\circ}\text{C}$  با استفاده از مدار کنارگذر پیش‌بینی شده است. اگرچه دمای آب مخزن با کارکرد مداوم کمپرسور به تدریج افزایش خواهد یافت، با توجه به قانون اول ترمودینامیک و توان کمپرسور پمپ حرارتی ( $1/5 \text{ kW}$ ) و ظرفیت بالای مخزن آب ( $300 \text{ Lit}$ ) این افزایش دما بسیار کند و قابل اغماض خواهد بود و می‌توان در طول آزمایش، دمای آب ورودی به تبخیرکننده را ثابت نگه داشت. در شکل (۶)، طرح واره جریانی پمپ حرارتی در زمان انجام آزمون پمپ حرارتی نمونه، نمایش داده شده است.



شکل (۶): طرح واره سیستم لوله کشی برای آزمون پمپ حرارتی

در این طرح واره جریانی، برای سادگی از یک مخزن به‌طور مشترک برای مدارهای آب کندانسور و تبخیرکننده استفاده شده است. بنابراین با مخلوط شدن دو جریان سرد و گرم دمای آب مخزن به‌کاری افزایش یافته و تقریباً ثابت می‌ماند و نیازی به منابع گرم و سرد نیست. همچنین با استفاده از مدارهای کنارگذر، دمای جریان آب مسیر کندانسور برای تغییر شرایط ورودی کنترل می‌شود. شکل (۷) پمپ حرارتی ساخته شده را در زمان عملیات داده‌برداری نشان می‌دهد.



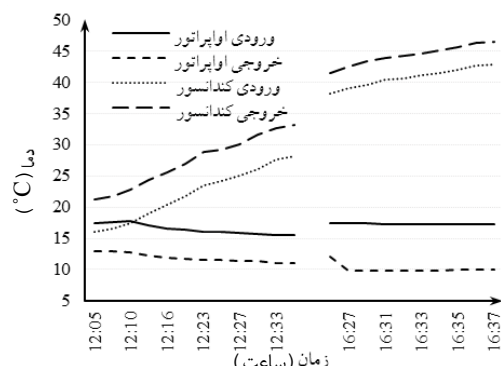
شکل (۷): دستگاه ساخته شده و نحوه انجام آزمون

برای اندازه‌گیری کمیت‌های دما، دبی جریان و مصرف برق از وسایل سنجش به شرح جدول (۹) استفاده شده است. در این آزمون، دبی‌های جریان تبخیرکننده و کندانسور در طول آزمایش ثابت و به ترتیب برابر  $1/36 \text{ m}^3.\text{hr}^{-1}$  و  $0/9 \text{ m}^3.\text{hr}^{-1}$  تنظیم شد.

در طی این آزمون‌ها، دمای آب‌گرم خروجی کندانسور به دمای  $50^{\circ}\text{C}$  می‌رسد که بالاترین نرخ مصرف برق را در این شرایط ایجاد می‌کند. محدوده دمای تبخیرکننده در آزمون‌های انجام شده، در دمای  $13/5^{\circ}\text{C}$  ثابت

آب ورودی و خروجی به کنداسور و تبخیرکننده توسط یک دستگاه داده‌بردار اندازه‌گیری شد. برای محاسبه ظرفیت حرارتی کنداسور و تبخیرکننده طبق رابطه (۱)، لازم است تا دبی عبوری از آن‌ها را به دست آوریم. با نصب دو عدد کنتور آب در مسیر کنداسور و تبخیرکننده، دبی مسیر کنداسور و تبخیرکننده به ترتیب  $1/44 \text{m}^3.\text{hr}^{-1}$  و  $1/98 \text{m}^3.\text{hr}^{-1}$  و  $1/44 \text{m}^3$  اندازه‌گیری شد. همچنین برای افزایش دقت در محاسبه توان مصرفی، از یک دستگاه وات‌متر کلمبی با دقیقیت  $0.1 \text{kW}$  استفاده شد. مزیت این روش نسبت به روش قبل در این است که این دستگاه در هر لحظه، علاوه‌بر شدت جریان، مقدار ولتاژ و ضریب توان را هم اندازه‌گیری می‌کند. به این ترتیب مقدار توان اندازه‌گیری شده از دقت بیشتری نسبت به توان محاسبه شده در حالت قبل برخوردار خواهد بود.

به منظور ثبت نتایج جدید، سیستم در دو نوبت و در هر نوبت به مدت ۳۰ دقیقه روشن شد. با شروع به کار سیستم در نوبت اول، دمای خروجی کنداسور که همان دمای مخزن است، از  $21^\circ\text{C}$  به  $31^\circ\text{C}$  رسید. در نوبت دوم، برای بررسی کارکرد پمپ حرارتی در دمای بالاتر، دمای مخزن ذخیره آب گرم بالا برده شد. در این نوبت، پمپ حرارتی توانست مخزن را از  $41^\circ\text{C}$  به دمای  $47^\circ\text{C}$  برساند. در شکل (۹) تغییرات دمایی ورودی و خروجی کنداسور و تبخیرکننده در هر دو نوبت آزمایش نشان داده شده است.



شکل (۹): نتایج ثبت شده توسط دستگاه داده‌بردار

به منظور بررسی رفتار حرارتی سیستم، در حین کارکرد سیستم، دبی عبوری از کنداسور و تبخیرکننده با استفاده از کنتورهای نصب شده در مسیر تبخیرکننده و کنداسور اندازه گرفته شد. مقادیر محاسبه شده در جدول (۱۲) نشان داده شده است.

جدول (۱۲): دبی آب عبوری از کنداسور و تبخیرکننده در حالت گرمایش

پارامتر	واحد	آزمایش اول	آزمایش دوم
دبی مسیر	$\text{Lit.sec}^{-1}$	$0.383$	$0.188$
تبخیرکننده			
دبی مسیر کنداسور	$\text{Lit.sec}^{-1}$	$0.403$	$0.526$

با جایگذاری مقادیر اندازه‌گیری شده در رابطه (۱)، مقدار شار حرارتی

جدول (۱۱): نتایج محاسبات آزمون تجربی

پارامتر	دماهی خروجی کنداسور ( $^\circ\text{C}$ )					واحد
	۵۰	۴۵	۴۰	۳۵	۳۰	
توان مصرفی	۲۰۲۴	۱۶۴۰	۱۵۰۰	۱۳۳۰	۱۲۰۰	W
ظرفیت تبخیرکننده	۳۵۰۰	۴۱۰۰	۴۸۵۰	۵۴۴۶	۵۷۵۰	W
ظرفیت کنداسور	۵۵۰۰	۵۷۴۰	۶۳۵۰	۶۷۷۶	۶۹۵۰	W
ضریب عملکرد	۲/۷	۳/۵	۴/۲	۵/۱	۵/۸	-

همان‌طور که در جدول (۱۱) ملاحظه می‌شود، با افزایش دماهی جریان آب خروجی از کنداسور از دماهی  $30^\circ\text{C}$  تا  $50^\circ\text{C}$  ضریب عملکرد از مقدار  $5/8$  تا  $2/7$  کاهش می‌یابد. این جدول به‌وضوح اثر تعیین‌کننده دماهی کارکرد مبدل گرمایشی را بر ضریب عملکرد نشان می‌دهد. در شرایط کارکرد معمول که دماهی آب حدود  $40^\circ\text{C}$  باشد، ضریب عملکرد مقدار  $4/2$  را نشان می‌دهد؛ این مقدار نزدیک به ضریب عملکرد پمپ‌های حرارتی شرکت‌های معتبر خارجی است.

#### ۴. نتایج عملکرد سیستم در حالت کاری

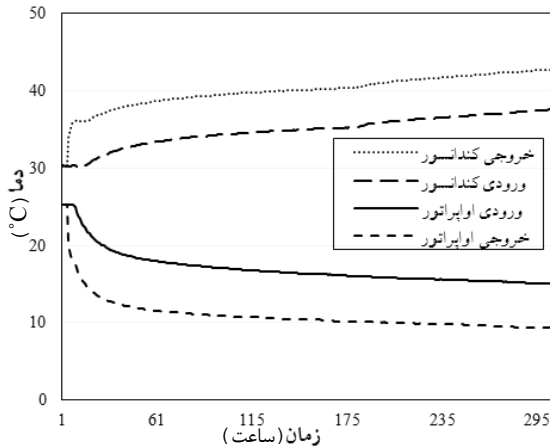
بعد از انجام آزمون تجربی بر روی پمپ حرارتی و کسب نتایج مورد قبول، نوبت به نصب آن در ساختمان موردنظر می‌رسد. برای کاهش حجم دستگاه و سهولت در حمل و نقل آن، محفظه‌ای برای نصب پمپ حرارتی ساخته شد و سپس در ساختمان موردنظر نصب شد. سیستم گرمایش ساختمان از نوع گرمایش از کف است و آب گرم تولیدی توسط پمپ حرارتی داخل یک مخزن  $300 \text{ Lit}$  ذخیره شده و در موقع موردنیاز، توسط یک پمپ به داخل ساختمان تزریق می‌شود. همچنین دو کانال به طول  $10 \text{ m}$  و عمق  $4 \text{ m}$  حفاری شده و  $300 \text{ m}$  لوله به صورت ماربیچی داخل آن‌ها قرار گرفته است تا گرمای تبخیرکننده را به زمین منتقل کند. در شکل (۸)، پمپ حرارتی نصب شده در ساختمان مشاهده می‌شود.



شکل (۸): پمپ حرارتی نصب شده در ساختمان موردنظر

بعد از نصب سیستم و سایر تجهیزات، سیستم را اندازی شده و دمای

حالت، دستگاه به مدت پنج ساعت روشن و عملیات داده‌برداری هر یک دقیقه یکبار انجام شد. شکل (۱۱) مقادیر دمای ثبت شده طی این آزمون را نشان می‌دهد.



شکل (۱۱): نتایج ثبت شده توسط دستگاه داده‌بردار

همانطور که در شکل (۱۱) مشاهده می‌شود، در اوایل آزمون تغییرات دما زیاد است؛ اما بعد از مدتی سیستم در یک حالت پایدار قرار گرفته و تغییرات دما بخصوص در سمت تبخیرکننده بسیار ناچیز می‌شود. در سمت تبخیرکننده، دمای آب خروجی نزدیک  $10^{\circ}\text{C}$  است که برای استفاده در سیستم‌های برودتی مناسب است. در سمت کندانسور، با گذشت زمان، دمای زمین افزایش پیدا می‌کند و در نتیجه دمای آب خروجی از کندانسور بالا رفته و با نزدیک شدن به محلوده دمای  $45^{\circ}\text{C}$  برق سیستم قطع و آزمون متوقف می‌شود.

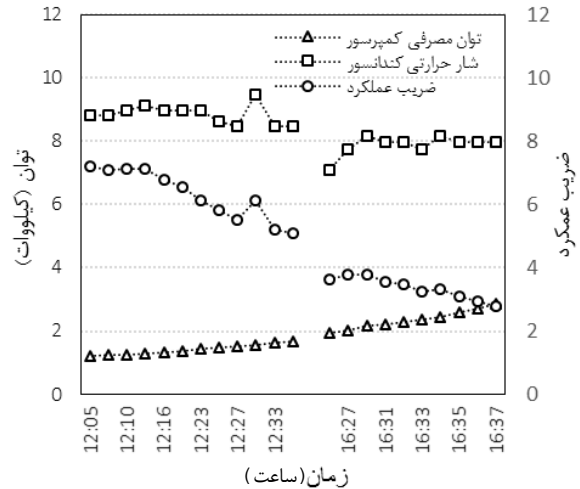
برای محاسبه میزان بار حرارتی و برودتی تولید شده توسط کندانسور و تبخیرکننده، مقادیر دبی آب عبوری از هر مسیر اندازه گرفته شد که در جدول (۱۲) نشان داده شده است.

جدول (۱۲): دبی آب عبوری از کندانسور و تبخیرکننده در حالت سرمایش

دبی آب	واحد	پارامتر
۰/۲۴۷	Lit.sec <sup>-۱</sup>	دبی مسیر تبخیرکننده
۰/۳۶۸	Lit.sec <sup>-۱</sup>	دبی مسیر کندانسور

با جایگذاری مقادیر دمای اندازه‌گیری شده و دبی آب در رابطه (۱)، مقدار شار حرارتی کندانسور و تبخیرکننده تعیین می‌شود. با محاسبه مقدار توان مصرفی کمپرسور توسط دستگاه وات‌متر، می‌توان ضریب عملکرد پمپ حرارتی را برای حالت سرمایش به دست آورد. شکل (۱۲) نتایج این محاسبات را نشان می‌دهد.

کندانسور و تبخیرکننده محاسبه می‌شود. مقدار توان مصرفی نیز با استفاده از دستگاه وات‌متر به صورت همزمان ثبت و درنتیجه، مقدار ضریب عملکرد دستگاه در هر زمان محاسبه می‌شود. شکل (۱۰) نتایج این محاسبات را نشان می‌دهد.



شکل (۱۰): ضریب عملکرد و توان تولیدی و مصرفی پمپ حرارتی

با توجه به شکل (۱۰) مشاهده می‌شود که افزایش دمای سمت کندانسور هیچ تغییر محسوسی در مقدار شار حرارتی کندانسور ایجاد نکرده است. اما میزان مصرف برق را افزایش داده است. در نتیجه ضریب عملکرد سیستم با افزایش دمای سمت کندانسور کاهش پیدا می‌کند. با افزایش دمای کندانسور از  $45^{\circ}\text{C}$  مقدار توان مصرفی سیستم به صورت تصاعدی افزایش می‌یابد. با توجه به توان اسمی دستگاه، کارکرد دستگاه در دمای بالاتر از  $45^{\circ}\text{C}$  موجب کارکرد کمپرسور در شرایط نامطلوب و دور از نقطه طرح می‌شود و نهایتاً مدار محافظ کمپرسور برق را قطع می‌کند. ضمن اینکه ضریب عملکرد سیستم در این شرایط پایین‌تر از ۴ خواهد بود.

بعد از آزمایش پمپ حرارتی در حالت گرمایش، به منظور بررسی عملکرد آن در حالت سرمایش در فصل تابستان، نیاز است تا لولهای آب ورودی و خروجی تبخیرکننده و کندانسور با یکدیگر جایجا شوند. به این ترتیب، آب گرم خروجی از کندانسور وارد زمین شده و پس از انتقال حرارت با زمین و کاهش دمای آب، به کندانسور باز می‌گردد. به همین صورت، آب سرد خروجی از تبخیرکننده به داخل مخزن منتقل شده و با انجام تبادل حرارت از طریق کویل داخل مخزن، دمای آب درون مخزن را کاهش داده و به سمت تبخیرکننده باز می‌گردد. با انجام تغییرات در سیستم لوله‌کشی، سیستم برای داده برداری در حالت سرمایش تابستانی آماده شد. به منظور افزایش طول عمر دستگاه و جلوگیری از ایجاد فشار به کمپرسور، با عبور دمای آب خروجی از کندانسور از مقدار  $45^{\circ}\text{C}$ ، سیستم کنترل برق کمپرسور را قطع می‌کند. برای بررسی عملکرد سیستم در این

## ۵. نتیجه‌گیری

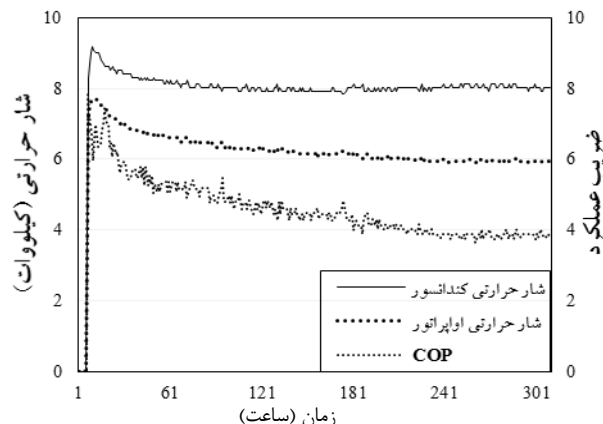
در این مقاله، بعد از جداسازی کردن یک پمپ حرارتی مشابه و تحلیل اجزای آن، یک نمونه پمپ حرارتی زمین‌گرمایی با توجه به شرایط داخلی طراحی و ساخته شد. سپس نمونه ساخته شده تحت شرایط معین و استاندارد مورد آزمایش قرار گرفت. نتایج آزمون تجربی نشان داد که افزایش دمای خروجی از کندانسور موجب کاهش ضریب عملکرد می‌شود که دلیل عمدۀ آن، افزایش اختلاف دمای کندانسور و تبخیرکننده است. همچنین بعد از نصب پمپ حرارتی در محل موردنظر، سیستم در دو حالت سرمایش و گرمایش مورد آزمایش قرار گرفت. در طی این آزمایش‌ها، پمپ حرارتی عملکرد مناسبی داشته و در حالت گرمایش، آب گرم  $45^{\circ}\text{C}$  و در حالت سرمایش، آب  $10^{\circ}\text{C}$  تولید می‌کند که برای استفاده در سیستم‌های گرمایش و سرمایش بسیار مناسب است. همچنین ضریب عملکرد آن در هر دو حالت و در بدترین شرایط عملکردی، بیشتر از ۴ است.

نتایج آزمایش نشان می‌دهد دمای خروجی از کندانسور، بیشترین تأثیر را بر روی عملکرد سیستم دارد. از طرفی، نتایج به دست آمده از این آزمایش‌ها، با نتایج به دست آمده از تحلیل نرمافزاری و آزمون تجربی تطابق خوبی دارد. در صورتی که دمای خروجی از کندانسور از  $45^{\circ}\text{C}$  بالاتر برود، عملکرد پمپ حرارتی مختلف شده و مقدار توان مصرفی کمپرسور، به شدت افزایش می‌یابد. بنابراین با استفاده از یک سیستم کنترل ساده و قطع برق کمپرسور در دمای بالاتر از  $45^{\circ}\text{C}$ ، می‌توان از عملکرد مناسب پمپ حرارتی اطمینان حاصل کرد.

با توجه به نتایج به دست آمده از عملکرد پمپ حرارتی ساخته شده و مقایسه آن با نمونه‌های موجود در بازار، علاوه بر ضریب عملکرد بالاتر، استفاده از توان داخلی و بومی سازی آن، از دیگر مزیت‌های پمپ حرارتی ساخته شده است.

## تشکر و قدردانی

این تحقیق با حمایت مالی شرکت گاز استان قم انجام شده است؛ به این ترتیب از همکاری این شرکت قدردانی می‌شود.



شکل (۱۲): ضریب عملکرد و توان تولیدی و مصرفی پمپ حرارتی

با توجه به شکل (۱۲)، مقدار شار برودتی تبخیرکننده در مدت انجام آزمون، نزدیک  $6\text{kW}$  است. در قسمت کندانسور نیز شار حرارتی تولیدی  $8\text{kW}$  است. بنابراین، عملکرد پمپ حرارتی در حالت سرمایش نیز با عملکرد آن در طراحی اولیه، تطابق خوبی دارد. از سوی دیگر، بررسی منحنی ضریب عملکرد نشان می‌دهد پمپ حرارتی در حالت سرمایش نیز دارای ضریب عملکردی بیشتر از ۴ خواهد بود.

میزان انرژی مصرفی پمپ حرارتی طراحی شده در هر دو حالت گرمایش و سرمایش، وابسته به دمای کارکرد کمپرسور است و در شرایط عملکرد معمولی، کمتر از  $2\text{kW}$  است. اما با افزایش اختلاف دمای کندانسور و تبخیرکننده، کمپرسور باید افزایش فشار بیشتری ایجاد کند و درنتیجه، انرژی مصرفی پمپ حرارتی افزایش می‌یابد. در مقایسه بین پمپ حرارتی طراحی شده و پمپ‌های حرارتی موجود در بازار از نظر میزان مصرف انرژی، این پمپ حرارتی در وضعیت مطلوبی قرار دارد. گفتنی است که کمپرسور مورد استفاده از نوع معمولی (غیر حاره‌ای) است و به همین دلیل، حداقل دمای کارکرد مطلوب کندانسور  $45^{\circ}\text{C}$  است. چنانچه بنا باشد دمای کارکرد کندانسور از این مقدار بیشتر شود، باید از کمپرسور حاره‌ای در پمپ حرارتی استفاده شود. دمای بالای  $45^{\circ}\text{C}$  در سرمایش، به معنی گرم شدن بیش از حد زمین است که چنانچه عمق چاه‌های زمین‌گرمایی به درستی طراحی و پیش‌بینی شده باشند، چنین وضعیتی به وجود نمی‌آید. اما در گرمایش دمای  $45^{\circ}\text{C}$  بیشتر مناسب سیستم گرمایش از کف است که نیاز به دمای بالای کارکرد ندارد.

## مراجع

- [1] Hepbasli, Arif, "Thermodynamic Analysis of a Ground-Source Heat Pump System for District Heating", International Journal of Energy Research, Vol. 29, pp. 671-678, 2005.
- [2] Yuehong, Bi, et al., "Comprehensive Exergy Analysis of a Ground-Source Heat Pump System for both Building Heating and Cooling Modes", Applied Energy, Vol. 86, pp. 2560-2565, 2009.
- [3] Chen, Xi, et al., "Experimental Studies on a Ground Coupled Heat Pump with Solar Thermal Collectors for Space Heating", Energy, Vol. 36, No. 8, pp. 5292-5300, 2011.

- [4] Sivasakthivel, T., Muriugesan, K., Thomas, H. R., "Optimization of Operating Parameters of Ground Source Heat Pump System for Space Heating and Cooling by Taguchi Method and Utility Concept", Applied Energy, Vol. 116, pp. 76-85, 2014.
- [5] <http://www.neura.at/en/>
- [6] <http://www.suna.org.ir/fa/geothermal/>
- [7] <http://www.eraogeothermal.com/>
- [8] <http://www.bernoulli.ir/>
- [۹] صنایع. سپهر، نیرومند. بهزاد، «مدلسازی و بهینه‌سازی فنی و اقتصادی پمپ گرمایی با مبدل زمینی افقی»، اولین کنفرانس بین‌المللی گرمایش، سرمايش و تهویه مطبوع، تهران، ۱۳۸۸.
- [۱۰] منصف‌راد، سید مهدی، جواهرده. کوروش، «تحلیل جامع اکسرژی یک پمپ حرارتی زمین‌گرمایی دما پایین برای استفاده در شرایط اقلیمی رامسر»، مدیریت انرژی، شماره اول، سال دوم، ۵۷-۴۸، ۱۳۹۱.
- [۱۱] عتابی، فریده، همکاران، «امکان‌سنجی فنی-اقتصادی و زیستمحیطی استفاده از پمپ‌های حرارتی زمین‌گرمایی»، فصلنامه علوم و تکنولوژی محیط زیست، دوره شانزدهم، شماره چهار، ۱۳۹۳، ۷۵-۶۱.
- [12] Takebayashi, M., Kohsokabe, H., Sekigami, K., Suefuiji, K., Tsubono, I. and Inaba, K. "Performance Improvement of a Variable-Speed Controlled Scroll Compressor for Household Air Conditioners", ASHRAE Transactions, 1994.
- [13] Beseler, F. "New Technology and the Helical Rotary Compressor", Heating, Piping and Air Conditioning, Vol. 1, pp. 127-129, 1987.
- [14] Beseler, F. "Scroll Compressor Technology Comes of Age", Heating, Piping and Air Conditioning, Vol. 59, pp. 67-70, 1987.
- [15] Tuck, A. "The Chemistry of Stratospheric Ozone Depletion", Heating, Piping and Air Conditioning, Vol. 69, 1997.